

(HUANJING KEXUE)

ENVIRONMENTAL SCIENCE

第37卷 第4期

Vol.37 No.4

2016

中国科学院生态环境研究中心 主办

科学出版社出版



ENVIRONMENTAL SCIENCE

第 37 卷 第 4 期 2016 年 4 月 15 日

目 次

2013年 12月上海市重度污染期间细颗粒物化学特征与输送轨迹影响
一一一一一一一一一一一一一一一一一一一一一一一一一一一一一一一一一一一一一一
利用 SPAMS 研究华北乡村站点(曲周)夏季大气单颗粒物老化与混合状态 ········ 黄子龙,曾立民,董华斌,李梅,朱彤(1188)
南京大气气溶胶混合态与云凝结核沾化特征研究 朱麟, 与嫣, 郑车, 李时政, 土利朋(1199)
南京大气气溶胶混合态与云凝结核活化特征研究 朱麟,马嫣,郑军,李时政,王利朋(1199) 北京地区不同天气条件下气溶胶数浓度粒径分布特征研究 苏捷,赵普生,陈一娜(1208) 重庆市主城区 PM _{2.5} 时空分布特征 刘永林,孙启民,钟明洋,钟部卿,雒昆利(1219) 大气细颗粒物中有机碳和元素碳监测方法对比 庞博,吉东生,刘子锐,朱彬,王跃思(1230)
里庆印土城区 PM _{2.5} 时全分布特值
深圳市大气中全氟化合物的残留特征 何鹏飞,张鸿,李静,何龙,罗骥,刘国卿,沈金灿,杨波,崔晓宇(1240)
北京上甸子站大气 CO_2 及 $\delta^{13}C(CO_2)$ 本底变化 ······················· 夏玲君,周凌晞,刘立新,张根(1248)
梅雨期大学宿舍室内生物气溶胶浓度及粒径分布 刘婷,李露,张家泉,占长林,刘红霞,郑敬茹,姚瑞珍,曹军骥(1256)
城市黑皇水体空气微生物污染及健康风险 · · · · · · · · · · · · · · · · · · ·
城市黑臭水体空气微生物污染及健康风险····································
·····································
西安市地表灰尘中多环芳烃分布特征与来源解析
PDMS 基涂层活性炭对甲苯、苯和丙酮吸附研究 ····································
海南东北部浜海湿地沉枳物微量元素分布特征、来源及污染评价 张卫坤, 甘华阳, 闭向阳, 王家生(1295)
曹妃甸围填海土壤重金属积累的磁化率指示研究 薛勇,周倩,李远,章海波,胡雪峰,骆永明(1306)
滇南蒙自地区降水稳定同位素特征及其水汽来源 李广,章新平,许有鹏,宋松,王跃峰,季晓敏,项捷,杨洁(1313)
江苏省浅水湖泊表层沉积物重金属 GIS 空间分布及生态风险评价 李莹杰,张列宇,吴易雯,李曹乐,杨天学,唐军(1321)
城市景观水体甲基汞的形成机制及微宇宙模拟研究
我国北方温带水库——周村水库季节性热分层现象及其水质响应特性
曾明正,黄廷林,邱晓鹏,王亚平,史建超,周石磊,刘飞(1337) 额尔齐斯河源区融雪期积雪与河流的水化学特征
额尔齐斯河源区融雪期积雪与河流的水化字特征 ····································
太原汾河京区浮游租物群洛结构及具与外境因于天系分析 · · · · · · · · · · · · · · · · · · ·
物废印河流机快物中明化和及明化似生物分中特值 · · · · · · · · · · · · · · · · · · ·
基流对业恐审农业流域炎系制苗的贝制研究 ····································
里仄뛰山衣坛石俗水一地下仍二须色惨及须进里怕异
田天小件机状初级瞬种有机灰石架存证及杆侧
环大湖不同姓居河流水休磁的时穴分布蛙征
高米与北动土在下水休山不同形态磁的粉量分布扣律
报关与机切六行 水体下小内心心两时效量为40% 1413 水皮、子为、子八扇、黄为、木石树(1413
告改件高岭土覆盖对底泥与上覆水之间磷迁移转化的影响 ··········· 章喆 林建伟 詹艳慧 王虹(1427)
电化学还原-氧化工艺降解 4-氯酚的毒性研究
额尔齐斯河源区融雪期积雪与河流的水化学特征
多环芳烃及其衍生物在北京典型污水处理厂中的存在及去除 乔梦,齐维晓,赵旭,刘会娟,曲久辉(1451)
高含氟的光伏废水反硝化可行性及经济性分析 ························李祥,朱亮,黄勇,杨朋兵,崔剑虹,马航(1467) 连续流反应器短程硝化的快速启动与维持机制 ·······························吴鹏,张诗颖,宋吟玲,徐乐中,沈耀良(1472)
连续流反应器短程硝化的快速启动与维持机制 吴鹏,张诗颖,宋吟玲,徐乐中,沈耀良(1472)
反硝化颗粒污泥在纳米零价铁胁迫下的性能恢复 王翻翻,钱飞跃,沈耀良,王建芳,张月茹,刘郭洵(1478)
低浓度环丙沙星对曝气生物滤池生物膜硝化过程及硝化微生物的作用影响
低碳源条件下改良双污泥系统脱氮除磷优化研究····································
低碳源条件下改良双污泥系统脱氮除磷优化研究····································
一一一一一一一一一一一一一一一一一一一一一一一一一一一一一一一一一一一一一
短期保护性耕作措施对大豆-冬小麦轮作系统温室气体排放的影响 … 谢燕,陈曦,胡正华,陈书涛,张寒,凌慧,申双和(1499)
不同封育年限荒漠草原土壤呼吸日、季动态变化及其影响因子 ··············· 贡璐,朱美玲,刘曾媛,张雪妮,解丽娜(1516) 塔里木盆地南缘典型绿洲土壤有机碳、无机碳与环境因子的相关性 ········· 贡璐,朱美玲,刘曾媛,张雪妮,解丽娜(1516)
台里不益地用涿典型琢洲工块有机恢、无机恢与环境囚丁的相大性 贝瑙,木美玲,刈胃菠,浓雪观,胖丽娜(1510)
小分子有机酸对紫色土及其溶液中 Pb 的赋存影响
水经矿氧化水溶性硫化物过程及甘影响因麦
水锰矿氧化水溶性硫化物过程及其影响因素
基于固相萃取及高效液相色谱-荧光检测分析的污泥中氟喹诺酮类抗生素研究方法的开发
業晓虎,薛勇刚,刘华杰,戴翎翎,严寒,李宁(1553) 养殖场周边土壤-蔬菜系统磺胺类药物残留及风险评价 金彩霞,司晓薇,王子英,张琴文(1562) 4种典型 PPCPs 对蚕豆和大蒜根尖细胞微核率的影响 王兰君,王金花,朱鲁生,王军,赵祥(1568)
4 种典型 PPCPs 对蚕豆和大蒜根尖细胞微核率的影响 ·······王兰君,王金花,朱鲁生,王军,赵祥(1568)
新型污染物卤代咔唑的环境行为及生态毒理效应 林坤德,陈艳秋,袁东星(1576)
新型污染物卤代咔唑的环境行为及生态毒理效应 ————————————————————————————————————
《环境科学》征订启事(1218) 《环境科学》征稿简则(1370) 信息(1352, 1412, 1498)

水锰矿氧化水溶性硫化物过程及其影响因素

罗瑶,李珊,谭文峰,刘凡,蔡崇法,邱国红*

(华中农业大学资源与环境学院,农业部长江中下游耕地保育重点实验室,武汉 430070)

摘要:作为表生环境中易生成且分布广泛的氧化锰矿物,水锰矿参与水溶性硫化物的氧化反应,影响其迁移、转化和归趋.本研究考察了水锰矿氧化水溶性硫化物(S^2)的过程与产物,探讨了初始 pH、氧气对反应速率与中间产物的影响,X-射线衍射仪(XRD)、傅里叶变换红外光谱仪(FTIR)和透射电镜(TEM)表征水锰矿与水溶性硫化物反应固相产物晶体结构、组分和微观形貌;分光光度计、高效液相色谱仪和离子色谱仪分析 S^2 及其氧化物的浓度与变化趋势. 结果表明水锰矿氧化 S^2 产物主要为单质 S,起始 pH 降低可加速 S^2 的初始氧化反应,对产物组成并无显著影响;有氧环境中单质 S 会进一步氧化生成 $S_2O_3^2$,且水锰矿表现出良好的催化作用与化学稳定性,反应约 S_2 000 S_3 00 S_3 00 S_3 00 S_3 000 S_3 00 S_3 00

关键词:水锰矿; 水溶性硫化物; pH; 氧化还原; 催化

中图分类号: X131 文献标识码: A 文章编号: 0250-3301(2016)04-1539-07 DOI: 10.13227/j. hjkx. 2016.04.045

Oxidation Process of Dissolvable Sulfide by Manganite and Its Influencing Factors

LUO Yao, LI Shan, TAN Wen-feng, LIU Fan, CAI Chong-fa, QIU Guo-hong *

(Key Laboratory of Arable Land Conservation (Middle and Lower Reaches of Yangtze River), Ministry of Agriculture, College of Resources and Environment, Huazhong Agricultural University, Wuhan 430070, China)

Abstract: As one of the manganese oxides, which are easily generated and widely distributed in supergene environment, manganite participates in the oxidation of dissolvable sulfide (S^{2-}), and affects the migration, transformation, and the fate of sulfides. In the present work, the redox mechanism was studied by determining the intermediates, and the influence of initial pH and oxygen atmosphere on the processes were studied. The chemical composition, crystal structures and micromorphologies were characterized by XRD, FTIR and TEM. The concentration of S^{2-} and its oxidation products were analyzed using spectrophotometer, high performance liquid chromatograph and ion chromatograph. The results indicated that elemental sulfur was formed as the major oxidation product of S^{2-} oxidation, and decreased pH could accelerate the oxidation rate of S^{2-} in the initial stage, however, there was no significant influence on final products. Elemental S could be further oxidized to $S_2O_3^{2-}$ when the reaction system was bubbled with oxygen, and manganite exhibited excellent catalytic performance and chemical stability during the oxidation of dissolvable sulfide by oxygen. After reaction of more than 10 h, the crystal structure of manganite remained stable.

Key words: manganite; dissolvable sulfide; pH; redox; catalysis

我国金属硫化矿物资源丰富、分布广泛,硫化矿物氧化引发土壤酸化,导致土壤肥力下降、有毒金属离子淋溶而污染环境[1]. 硫化矿物在酸性环境中溶解度增强易形成水溶性硫化物; 石油、化工、造纸和印染等排放的废水中多有高浓度水溶性硫化物. 硫化物具有强的腐蚀性和毒性,影响材料结构与性能、威胁人体健康和环境微生物生长与繁殖^[2,3]. 因此,水溶性硫化物的氧化行为、迁移转化与归趋一直是环境科学与土壤科学关注的热点.

在土壤中广泛存在的氧化锰矿物影响污染物的环境化学行为,如吸附氧化有毒金属离子(如 Pb^{2+} 、 Cu^{2+} 和 AsO_2^- 等)、有机化合物(如苯酚、抗生素和农药) $[3^{-8}]$. 锰氧化物与水溶性硫化物的氧化还原行为也得到了广泛研究. 氧化锰矿物晶体结构类型和反应条件不同,其产物也不尽相同 $[9^{-15}]$. 晶体结

构类型影响氧化锰氧化水溶性硫化物的速率^[9~15],而Mn(Ⅲ)含量影响锰氧化物的氧化活性^[15],进一步研究表明其氧化活性还受氧化锰晶体内Mn(Ⅲ)位点影响,如酸性水钠锰矿中Mn(Ⅲ)位于八面体空位的上下方,即层间Mn(Ⅲ)与水溶性硫化物接触反应几率增加,即使其含量低也表现出高的氧化活性^[10].现有研究多关注氧化活性强的锰氧化物(如水钠锰矿、锰钾矿和钙锰矿)与硫化物的氧化还原

收稿日期: 2015-10-05; 修订日期: 2015-11-16

基金项目: 国家自然科学基金项目(41171375,41571228); 教育部新世纪优秀人才计划项目(NCET-12-0862); 霍英东教育基金会高等院校青年教师基金项目(141024); 湖北省自然科学基金项目(2012FFA031,2014CFA016); 中央高校基本科研业务费专项(2662015JQ002,2013PY029,2013PY030)

作者简介: 罗瑶(1992~), 女, 硕士研究生, 主要研究方向为矿物环境化学, E-mail: luoyao101211@ mail. hzau. edu. cn

^{*} 通讯联系人,E-mail: qiugh@ mail. hzau. edu. cn

行为,而对氧化活性弱、低价态的水锰矿关注较少^[9~15].水锰矿(γ-MnOOH)能稳定存在于土壤与沉积物中,氧化活性高的氧化锰矿物还原可直接生成水锰矿,Mn(OH)₂沉淀在有氧环境中可氧化生成亚稳态六方水锰矿(β-MnOOH),其可进一步转化生成水锰矿^[10,16,17].较高氧化活性的锰氧化物,水锰矿参与水溶性硫化物的氧化反应中,反应产物组分是否相同还不明确;稳定的水锰矿在有氧环境中会否表现出一定的催化活性仍有待研究.

水锰矿参与金属离子和有机污染物的吸附氧化过程,如能有效吸附 As、Zn、Cr 等有毒金属离子^[18-20]. 锰氧化物与水溶性硫化物反应过程也多为关注缺氧体系,而在有氧环境中,水锰矿与水溶性硫化物的反应过程也会有所差异. 为此,本文主要模拟研究了水锰矿与水溶性硫化物的氧化还原行为,考察了初始 pH 和氧气氛围对反应过程的影响.

1 材料与方法

1.1 水锰矿的制备

在碱性条件下采用 H_2O_2 氧化 $MnSO_4$ 法合成水锰矿 $^{[18,19]}$. 将 250 mL 1.4 $mol \cdot L^{-1}$ $MnSO_4 \cdot H_2O$ 和 250 mL 0.4 $mol \cdot L^{-1}$ $NH_3 \cdot H_2O$ 置于烧杯中磁力搅拌均匀,用恒流泵以 3 $mL \cdot min^{-1}$ 逐滴加入 90 mL $H_2O_2(30\%)$ 溶液,滴加完毕后将烧杯置于 105% 的油浴锅中恒温回流反应 24 h. 自然冷却后用去离子水洗涤产物至电导率低于 15 $\mu S \cdot cm^{-1}$,产物在 40% 烘箱内烘干至恒重,研磨过 75 目筛以备用.

1.2 水锰矿氧化 S²⁻实验

在除氧的 Na₂S 溶液 (S²⁻浓度:200 mg·L⁻¹) 中 加入 0.50 g 水锰矿, 反应体系(400 mL) 中持续通入 高纯氮气以维持厌氧环境,在搅拌条件下水浴恒温 20℃,反应不同时间段后用注射器抽取 3.0 mL 的悬 浊液,用 0.22 μm 微孔滤膜过滤,滤液保留待测. 用 XRD、FTIR 表征过滤后所得固相产物组分,也即载 有湿样品的滤膜紧贴样品池,进行 XRD 分析;载有 湿样的滤膜经 40℃ 真空烘干后抖落粉末产物进行 FTIR 表征. 固相产物中单质 S 经甲醇-水溶液萃取 后用高效液相色谱仪分析其含量,滤液中 S²⁻ 用亚 甲基蓝分光光度法测定,S₂O₃²⁻、SO₃²⁻和 SO₄²⁻等浓 度用离子色谱仪测定. 值得一提的是, 氮气流速控 制为气泡连续鼓出以保证缺氧环境,单一硫化钠溶 液在 240 h 内 S^2 - 损失率不足 10% , 显著低于其被 氧气和水锰矿氧化的转化速率,因此氮气吹脱作用 可忽略.

上述体系在反应过程中初始 pH 值约为 12.0, 为考察初始阶段 pH 对反应过程的影响,用稀盐酸和 NaOH 调控反应体系起始 pH 分别为 10.0 和8.0. 为模拟开放有氧环境下其反应过程,在体系中通人氧气维持有氧环境监测中间产物.

1.3 产物组分与理化性质表征

所得水锰矿用全自动比表面仪 (Quantachrome Autosorb-1) 测定比表面积; X-射线衍射仪 (Bruker D8 ADVANCE) 表征固相产物晶体结构,采用 Cu Kα (λ = 0. 160 54 nm), 管压 40 kV、管流 40 mA、步长 0. 02°, 扫速为 4 (°)·min⁻¹; 透射电镜 (TEM, Hitachi H-7650) 观察样品形貌. 傅里叶变换红外光谱仪 (FTIR, Bruker Equinox 55) 分析产物的特征官能团. 固相产物中单质硫含量以纯甲醇和含有 5%水的甲醇溶液用作洗脱液 [12] 分离后高效液相色谱仪 (Agilent, HPLC-1200) 分析测定;离子色谱 (Dionex, ICS-1100) 测定 $S_2O_3^{2-}$ 、 SO_3^{2-} 和 SO_4^{2-} 等浓度 [10].

2 结果与讨论

2.1 水锰矿氧化 S²⁻

合成氧化锰矿物样品 X-射线衍射谱如图 1(a) 所示, XRD 谱峰与水锰矿标准谱图 (γ-MnOOH, JCPDS:41-1379) 一致, 表明所得产物为纯相水锰矿. 水锰矿为尺寸约 200 ~500 nm 的棒状颗粒[图 1(b)], 比表面积为 42. 4 $\text{m}^2 \cdot \text{g}^{-1}$.

在 S^{2-} 浓度为 200 mg·L⁻¹的氮气保护体系中, 加入 0.5 g 水锰矿后初始 pH 约为 12.0, 恒温 20℃ 反应不同时间段 S2-转化率及氧化产物浓度变化趋 势如图 2 所示,反应 90 min 左右,水溶性硫化物 (S^{2-}) 转化速率达99.7%,也即溶液中 S^{2-} 基本完全 被水锰矿氧化. 与钙锰矿、水钠锰矿和锰钾矿等高 价态锰氧化物相比,水锰矿完全氧化 S2- 所需时间 显著延长,表明其氧化活性较低. 可见,晶体结构类 型和化学组分等会影响氧化锰矿物的氧化活 性[9,10]. 单质 S 为 S²⁻氧化主要产物,反应 90 min 左右其转化率达 85%, 在 210 min 时为 92.3%, 而 后略有下降,可能反应后期进一步被氧化. 液相组 分 S₂O₃²⁻、SO₃²⁻ 和 SO₄²⁻ 浓度均较低,其中 S₂O₃²⁻ 浓 度相对较高,且浓度有先增加后降低的趋势,可能是 生成的 $S_2O_3^{2-}$ 分解为单质 S 和 SO_3^{2-} ,而 S^{2-} 又可与 SO_3^{2-} 反应生成单质 $S^{[9,10]}$.

不同时间段固相产物 XRD 分析结果如图 3(a) 所示, 反应 20 min 后水锰矿还原成 Mn(OH)₂

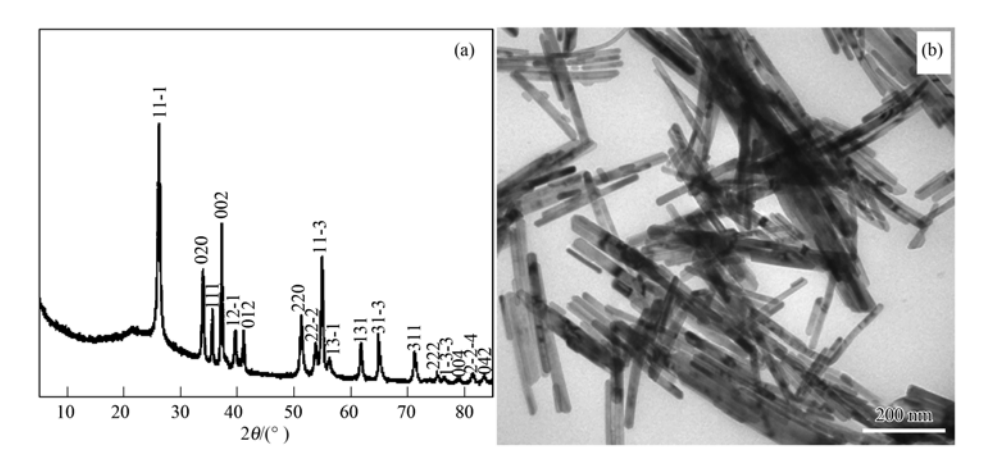


图 1 水锰矿 XRD 图谱和透射电镜照片

Fig. 1 XRD patterns and TEM images of synthesized γ-MnOOH

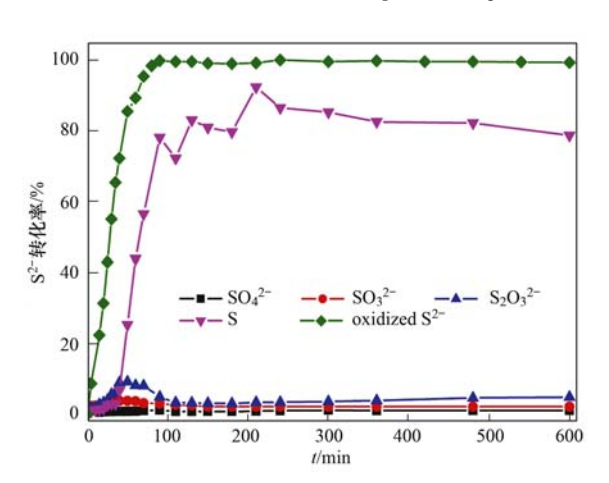
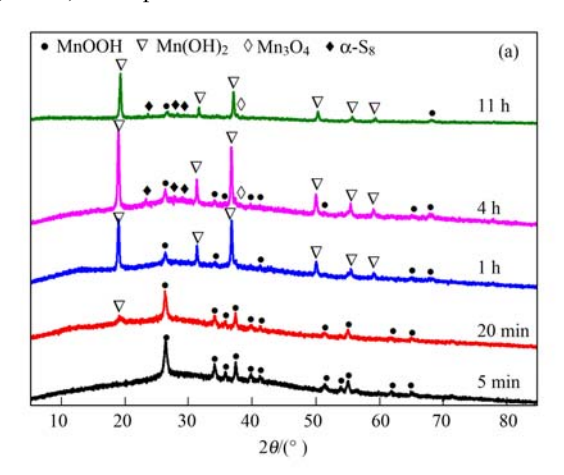


图 2 氮气氛围下 0.5 g 水锰矿与 S^{2-} 溶液 (400 mL, $200 \text{ mg} \cdot \text{L}^{-1})$ 反应产物及 S^{2-} 的转化率

Fig. 2 Transformation rate from S²⁻ to S₂O₃²⁻ , SO₃²⁻ , $SO_4^{\ 2^-} \text{ and the oxidation rate of S}^{2^-} (200 \text{ mg} \cdot \text{L}^{-1} \text{, } 400 \text{ mL})$

(JCPDS:12-0696),且反应体系液相中并未检测出 Mn²⁺,可见,初始 pH 为 12.0 的强碱环境中新生成



的 Mn^{2+} 易生成 $Mn(OH)_2$ 沉淀. 反应进行 60 min 后,出现了单质硫 α - S_8 的特征衍射峰(JCPDS: 83-2284),且随着反应时间延长, α - S_8 特征衍射峰增强,表明单质 S 含量有增加的趋势. 反应进行 $4\sim11$ h, γ -MnOOH未完全还原消失,除 γ -MnOOH、 α - S_8 和 $Mn(OH)_2$ 的特征衍射峰外,还观察到 Mn_3O_4 (JCPDS: 16-0350)的特征衍射峰,主要原因是潮湿的 $Mn(OH)_2$ 在空气中被氧化容易转化生成 Mn_3O_4

为进一步阐明水锰矿氧化 S^{2-} 的反应过程,进一步对固相产物进行 FTIR 分析,明确其中间产物.如图 3(b) 所示3 431、1 631 cm^{-1} 为 H_2O 的特征吸收峰 $^{[21,22]}$; 2 083、1 261、1 152、1 085、1 022、595、495、447 cm^{-1} 为 γ -MnOOH 的吸收振动峰, 430 cm^{-1} 处为 Mn_3O_4 的吸收峰 $^{[22,23]}$; α - S_8 的特征吸收峰位于 442 cm^{-1} 处 $^{[24]}$,与 γ -MnOOH 447 cm^{-1} 峰位重叠,随着反应进行固相产物在该处的吸收峰逐渐宽化说明有单质 S 生成.同时观察到 γ -MnOOH 特

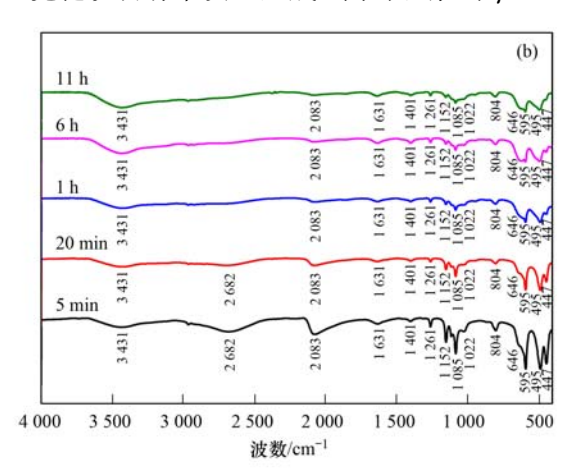
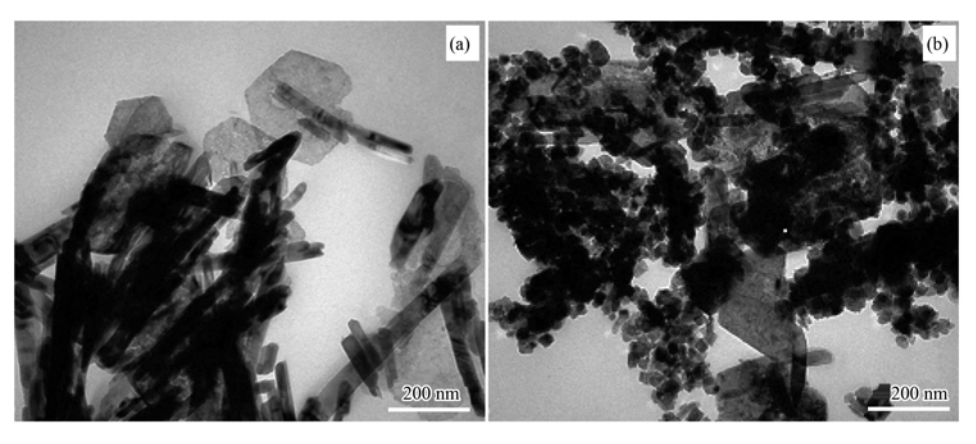


图 3 氮气氛围下 0.5 g 水锰矿与 S²⁻溶液(400 mL, 200 mg·L⁻¹)反应不同时间段固相产物 XRD 图谱和 FTIR 图谱 Fig. 3 XRD patterns and FITR spectra of solid products from the oxidation rate of S²⁻ (200 mg·L⁻¹, 400 mL) by γ-MnOOH at different time in nitrogen atmosphere

征吸收峰逐渐减弱,主要为 Mn(OH)₂ 在空气中被氧化成 Mn₂O₄,这与 XRD 分析结果较为一致.

反应过程中间产物微观形貌如图 4 所示. 反应 20 min 所得固相产物生成部分片状结构产物[图 4

(a)],这可能为生成的 α -S₈^[9]. 反应 6 h 后棒状颗粒物粉化[图 4(b)],由于 MnOOH 被还原后形成大量形状不规则小颗粒. 结合 XRD 及 TEM 分析结果可知,水锰矿经还原多转化为 Mn(OH)₂.



(a)20 min; (b) 360 min

图 4 氮气氛围下 0.5 g 水锰矿与 S²⁻溶液(400 mL, 200 mg·L⁻¹)反应不同时间段固相产物的 TEM 照片 Fig. 4 TEM images of solid products from the oxidation of S²⁻ (200 mg·L⁻¹, 400 mL) by γ-MnOOH with initial pH 12.0 at 20 and 360 min in nitrogen atmosphere

2.2 pH 对氧化速率的影响

在上述反应过程中,200 mg·L⁻¹ Na₂S 溶液 pH 稳定在 11.8 左右,加入水锰矿后,pH 变化不大,初始 pH 控制为 12.0;在氧化还原实验过程中,pH 变化不太显著,经 12 h 反应后,pH 稳定在 11.3 左右,可见,反应过程较为缓慢.进一步调控反应体系初始 pH,使模拟体系更接近自然环境,以期阐明水锰矿与水溶性硫化物的环境化学行为.

初始 pH 控制分别为 10.0 和 8.0 时,反应经过不足 30 min, pH 基本稳定在 11.6 左右,可见,水溶性硫化物初始氧化反应为释放 OH 过程. 进一步对固相、液相产物进行表征分析(图 5),对比初始 pH 为 12.0 的结果,明确初始 pH 对反应过程的影响.

初始 pH 控制为 10 的体系中,反应进行 10 min 后有单质 S 生成,随着反应进行, γ -MnOOH 衍射峰逐渐减弱,也即其含量降低,生成的 Mn(OH)₂ 在空气中也被氧化生成 Mn₃O₄[图 5(a)].反应体系初始 pH 为 8.0 时,主要固相产物及变化趋势与 pH 为 10.0 的体系基本相同[图 5(c)],反应初期有单质 S 生成,且随反应进行单质 S 含量有上升的趋势.对两反应体系液相产物及固相产物中单质 S 含量进行分析如图 5(b)、5(d)所示. S²-氧化产物主要为 S、S₂O₃²-、SO₃²-和 SO₄²-,且以单质 S 为主.对比图 5 和图 2 可知,初始 pH 控制为 12.0、10.0、8.0,反应

20 min 后生成单质 S 的转化率分别为 15.8%、16.5%、23.9%;反应 480 min 后,初始 pH 为 12.0、10.0、8.0 的体系中生成单质 S 的百分比均约 82%,可知初始 pH 对水锰矿氧化硫化物的影响主要为 S^2 初始阶段的氧化速率. 在 pH 为 12.0、10.0 和 8.0 的体系中,80%的 S^2 被氧化所需要的时间分别为 45、20 和 10 min, S^2 的转化率变化趋势进一步说明随着 pH 升高,反应速率降低. 研究表明 pH 影响溶解硫的化学组分及锰氧化物表面位点进而影响水溶性硫化物的氧化速率[25].

调控体系初始 pH 为 8~12,而在反应过程中,释放 OH 使得体系酸碱度稳定范围为 pH 11.0~12.0,进而对产物组分影响不大.为了明确 pH 对反应动力学的影响,可恒定体系 pH 进行比较^[9,10].在缺氧条件下,反应体系初始 pH 分别控制为 12.0、10.0、8.0,反应过程中 pH 均会快速上升至约为12.0 且维持稳定,而初始 pH 越小,S²⁻初始氧化速率越快.不同条件下反应产物及变化趋势基本一致,单质 硫 均 为 主要 产 物,固 相 产 物 主要 为 Mn(OH)₂沉淀,反应过程可表述为:

16MnOOH + 8S²⁻ + 16H₂O → 16Mn(OH)₂ +
$$\alpha$$
-S₈ + 16OH⁻ (1)

2.3 有氧氛围对氧化过程的影响

在表生环境中,氧气参与硫化矿物与Mn(II)的氧化反应,为此,在上述体系中通入氧气以考察有氧

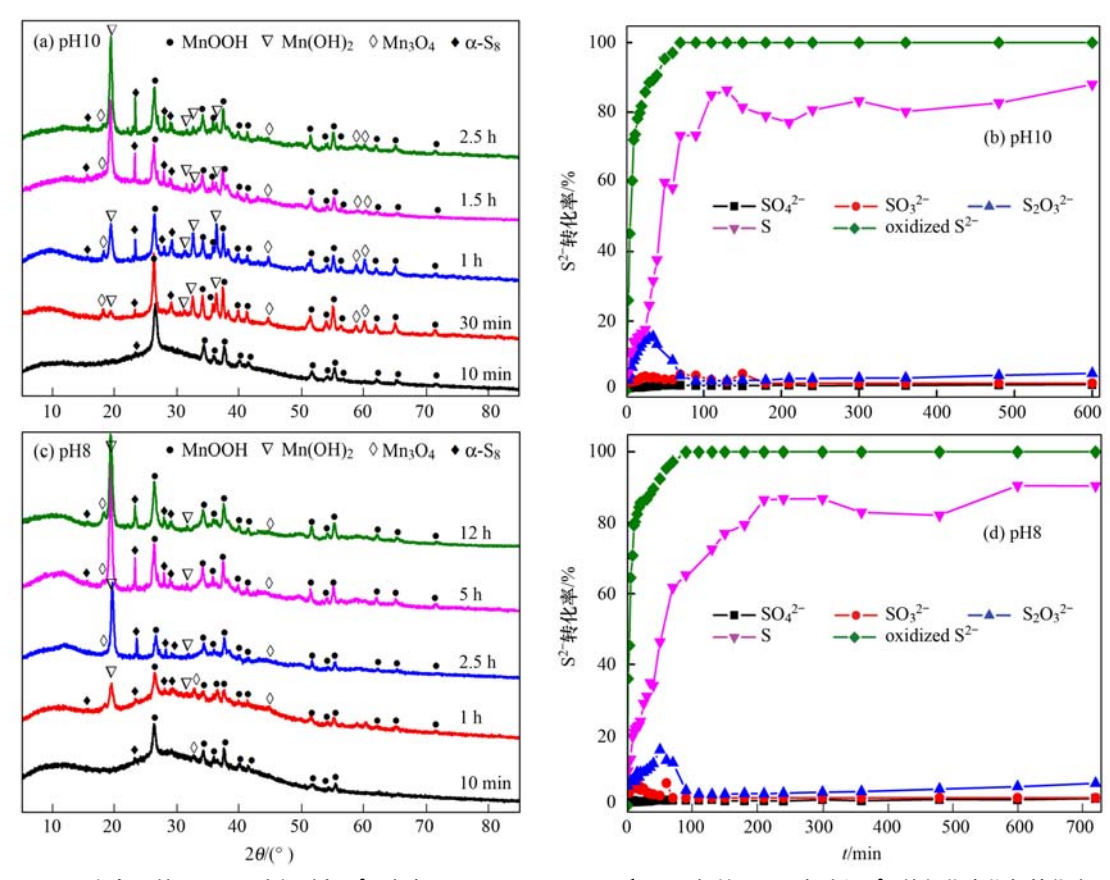


图 5 氮气环境下 0.5 g 水锰矿与 S²⁻溶液(400 mL, 200 mg·L⁻¹) 不同初始 pH 反应过程 S²⁻ 的氧化产物与转化率 Fig. 5 Solid/aqueous products and transformation rate of S²⁻ from 200 mg·L⁻¹ S²⁻ oxidized

by γ -MnOOH in nitrogen atmosphere with initial pH 10 and pH 8

环境中水锰矿与水溶性硫化物的反应过程,并对 O_2 氧化硫化矿物的反应过程进行了研究. S^2 浓度为 200 mg·L⁻¹的溶液体系中,添加水锰矿后 pH 约为 12.0,随着反应进行,pH 基本稳定在 11.8. 反应过程液相产物及浓度变化趋势如图 6 所示.

 O_2 与水溶性 S^2 反应 $10 h f, S^2$ 转化率约为 80.0% 且仍有上升趋势[图 6(a)],且水溶性硫化物

转化中间产物主要为 $S_2O_3^{2-}$ 和 SO_4^{2-} . 开放体系中,水锰矿与水溶性 S^{2-} 反应 90 min 后, S^{2-} 转化率约为 93.0% [图 6(b)],而后基本趋于稳定;在封闭体系中通氮气条件下反应 1.5 h, S^{2-} 转化率达 99.7% (图 2). 有氧环境略降低了水锰矿氧化硫化物的反应速率. 水溶性硫化物转化中间产物主要为单质 $S_2O_3^{2-}$,且单质 $S_2O_3^{2-}$,且单质 $S_2O_3^{2-}$,且单质 $S_2O_3^{2-}$,

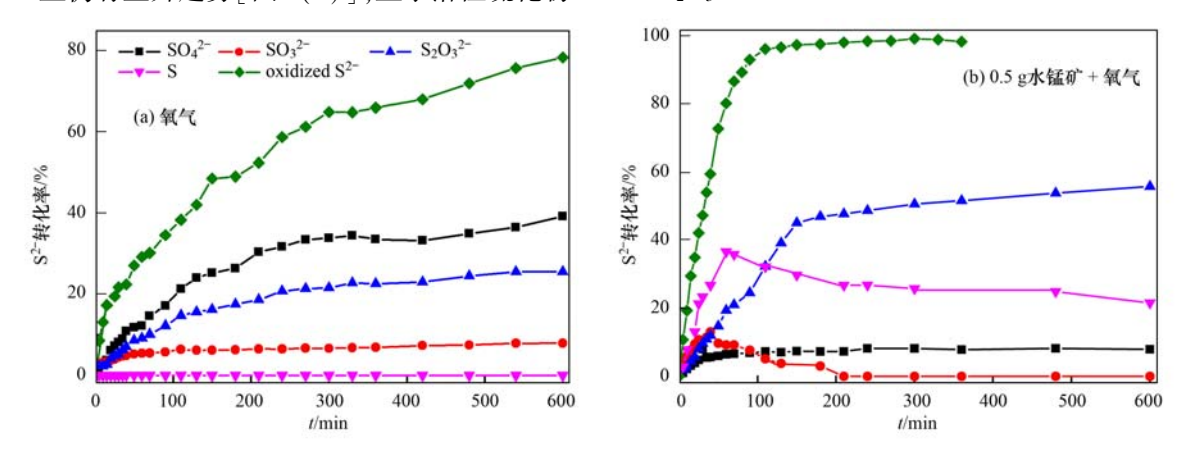


图 6 有氧氛围下 0 g、0.5 g 水锰矿与 S^{2-} 溶液(400 mL, 200 mg·L $^{-1}$) 反应产物及 S^{2-} 的转化率

Fig. 6 Transformation rate from S^{2-} to $S_2O_3^{2-}$, SO_3^{2-} , SO_4^{2-} and the oxidation rate of S^{2-} (200 mg·L⁻¹, 400 mL) by single oxygen and γ -MnOOH in oxygen atmosphere

 $S_2O_3^{2-}$ 浓度呈上升趋势, 10 h 内其含量上升至 60% 左右. SO_4^{2-} 在反应初期含量上升, 后基本维持在 10% 左右, 可见氧气存在促进了高价态硫氧化物的 生成, O_2 能进一步氧化 S 生成 $S_2O_3^{2-}$ 和 SO_4^{2-} . 氧气较水锰矿具有更高的氧化活性, 可溶性硫化物 (S^{2-}) 氧化产物后期主要为高价态硫氧酸根离子. 氧气在水中溶解度有限, 进而影响其扩散速率, 因而较水锰矿粉末与水溶性硫化物反应速率慢, 且氧气氧化水溶性硫化物主要为 $S_2O_3^{2-}$ 和 $SO_4^{2-[9]}$, 使得与水锰矿反应的 S^{2-} 浓度降低, 因此, 在有氧环境中 S^{2-} 的总体转化率偏低.

在有氧环境中,水锰矿还原生成的 $Mn(OH)_2$ 沉淀会进一步氧化生成 Mn_3O_4 和 β -MnOOH 等. 在本实验中,固相产物 X-射线衍射谱如图 7 所示,可见, γ -MnOOH 能保持较好的化学稳定性,经过约 10 h 反应,其晶体结构保持稳定;反应 40 min 后出现了单质 S 的衍射峰,且初期特征衍射峰强度有增加的趋势,表明其含量增加,而后衍射峰逐渐消失,也即单质 S 的进一步氧化生成高价态的硫氧酸根离子. 这些与图 6 所示结果较为一致.

在此过程发现有氧环境中, γ -MnOOH 参与水溶性硫化物的氧化,利于 $S_2O_3^{2-}$ 的生成,且维持很好的化学稳定性,即 γ -MnOOH 表现出良好的催化活性与稳定性.为进一步明确水锰矿催化稳定性,TEM表征反应过程中固相产物微观形貌.如图 8 所示,有氧环境中,经过30 min和4 h反应,晶体微观形貌

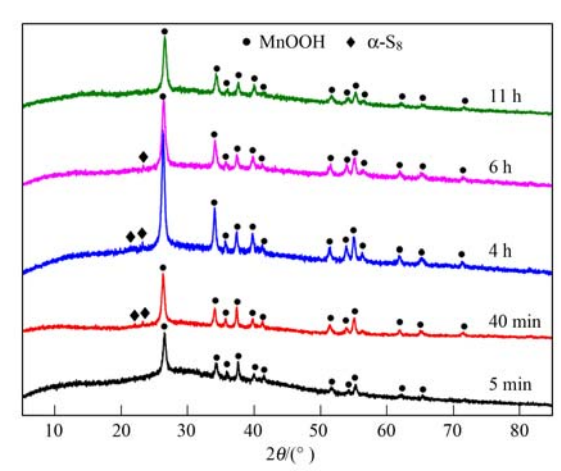


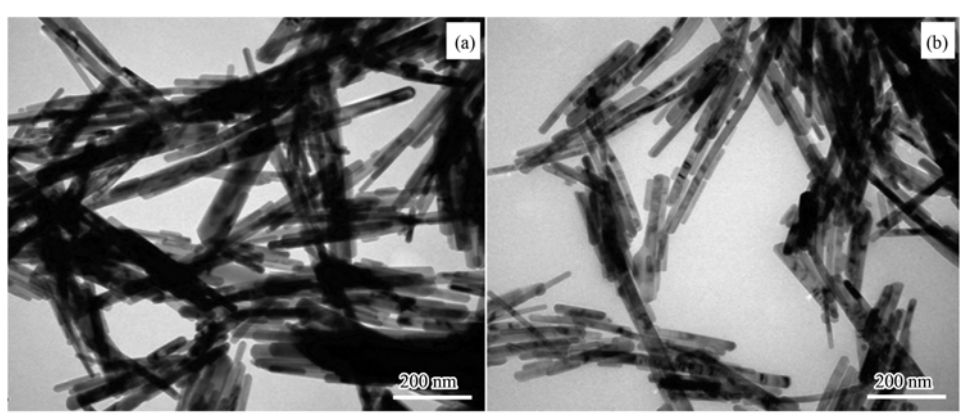
图 7 有氧环境下初始 pH 12,水锰矿(0.5 g) 与 S²⁻溶液 (400 mL, 200 mg·L⁻¹) 反应产物 XRD 图谱

Fig. 7 XRD patterns of solid products from the reaction of S 2 - $(400~mL,~200~mg\cdot L^{-1})~and~0.~5~g~\gamma\text{-MnOOH}$ in the presence of oxygen with initial pH 12

无显著变化,这与 XRD 分析结果一致,也即在有氧环境中水溶性硫化物的氧化,水锰矿表现出良好的催化稳定性. 而在相同条件下,钙锰矿出现明显的粉化现象^[9],进一步说明氧化活性弱的水锰矿才能表现出催化稳定性.

上述开放体系中, O_2 加速了单质 S 的进一步氧化,维持了水锰矿的化学稳定性,水锰矿可催化氧气氧化水溶性硫化物生成 $S_2O_3^{2-}$,具体反应如下:

$$2S^{2-} + 2O_2 + H_2O \xrightarrow{\gamma - MnOOH} S_2O_3^{2-} + 2OH^-$$
(2)



(a) 30 min; (b) 4 h

图 8 有氧环境中水锰矿(0.5 g) 与 S²⁻溶液(200 mg·L⁻¹, 400 mL) 反应 30 min 和 4 h 产物的 TEM 照片 Fig. 8 TEM images of solid products from the oxidation of S²⁻ (200 mg·L⁻¹, 400 mL) by 0.5 g γ-MnOOH at 30 min and 4 h in the presence of oxygen with initial pH 12

3 结论

(1)在缺氧的环境中,水锰矿氧化 S^{2-} 可生成单质 S、S, O_3^{2-} 、 SO_3^{2-} 和 SO_4^{2-} ,且以单质 S 为主要产

物. 初始 pH 对反应过程影响较小,主要对 S^2 的转化率和单质 S 的生成速率有一定影响. 随着 pH 降低, S^2 转化率和生成单质 S 的速率加快,而对长时间氧化产物组分影响较小.

(2)有氧环境体系中,氧气能将单质 S 进一步 氧化为高价硫氧酸根离子,且水锰矿能保持较好的 晶体结构和微观形貌,也即在表生有氧环境中,水锰 矿表现出良好的催化特性.

参考文献:

- Hayes S M, Root R A, Perdrial N, et al. Surficial weathering of iron sulfide mine tailings under semi-arid climate [J].
 Geochimica et Cosmochimica Acta, 2014, 141; 240-257.
- [2] 卢信, 冯紫艳, 商景阁, 等. 不同有机基质诱发的水体黑臭及主要致臭物(VOSCs)产生机制研究[J]. 环境科学, 2012, 33(9); 3152-3159.
- [3] 孙丽娟, 段德超, 彭程, 等. 硫对土壤重金属形态转化及植物有效性的影响研究进展[J]. 应用生态学报, 2014, 25 (7): 2141-2148.
- [4] Mongelli G, Sinisi R, Mameli P, et al. Ce anomalies and trace element distribution in Sardinian lithiophorite-rich Mn concretions
 [J]. Journal of Geochemical Exploration, 2015, 153: 88-96.
- [5] Zhu M Q, Paul K W, Kubicki J D, et al. Quantum chemical study of arsenic (Ⅲ, V) adsorption on Mn-oxides: Implications for arsenic (Ⅲ) oxidation [J]. Environmental Science & Technology, 2009, 43(17): 6655-6661.
- [6] 徐建, 张莹, 李蕾, 等. δ-MnO₂ 氧化降解苯酚的机理研究 [J]. 环境科学学报, 2013, **33**(4): 1010-1016.
- [7] Li Y, Wei DB, Du YG. Oxidative transformation of levofloxacin by δ-MnO₂: Products, pathways and toxicity assessment [J]. Chemosphere, 2015, 119: 282-288.
- [8] 李媛, 魏东斌, 杜宇国. 锰氧化物对有机污染物的转化机制研究进展[J]. 环境化学, 2013, **32**(7): 1288-1299.
- [9] Gao T Y, Shi Y, Liu F, et al. Oxidation process of dissolvable sulfide by synthesized todorokite in aqueous systems[J]. Journal of Hazardous Materials, 2015, 290; 106-116.
- [10] Qiu G H, Li Q, Yu Y, et al. Oxidation behavior and kinetics of sulfide by synthesized manganese oxide minerals[J]. Journal of Soils and Sediments, 2011, 11(8): 1323-1333.
- [11] 陈天虎, 汪家权. 天然锰矿物催化氧化法处理含硫废水研究 [J]. 环境科学, 1993, **14**(4): 58-61.
- [12] Herszage J, dos Santos Afonso M. Mechanism of hydrogen sulfide oxidation by manganese (IV) oxide in aqueous solutions [J]. Langmuir, 2003, 19(23): 9684-9692.
- [13] 李倩, 俞颖, 赵雅兰, 等. 锰钾矿氧化硫化物特性与动力学研究[J]. 环境科学, 2011, **32**(7); 2102-2108.
- [14] 李倩, 俞颖, 刘凡, 等. 水钠锰矿氧化硫化物的过程与动力 学研究 [J]. 岩石矿物学杂志, 2011, **30**(6): 1007-1013.

- [15] Nico P S, Zasoski R J. Mn (III) center availability as a rate controlling factor in the oxidation of phenol and sulfide on δ-MnO₂ [J]. Environmental Science & Technology, 2001, 35 (16): 3338-3343.
- [16] Post J E. Manganese oxide minerals: Crystal structures and economic and environmental significance [J]. Proceedings of the National Academy of Sciences of the United States of America, 1999, 96(7): 3447-3454.
- [17] Lefkowitz J P, Rouff A A, Elzinga E J. Influence of pH on the reductive transformation of birnessite by aqueous Mn(II)[J]. Environmental Science & Technology, 2013, 47(18): 10364-10371.
- [18] Chiu V Q, Hering J G. Arsenic adsorption and oxidation at manganite surfaces. 1. Method for simultaneous determination of adsorbed and dissolved arsenic species [J]. Environmental Science & Technology, 2000, 34(10); 2029-2034.
- [19] Qin Y W, Pan G, Zhang M M, et al. Adsorption of zinc on manganite (gamma-MnOOH): particle concentration effect and adsorption reversibility [J]. Journal of Environmental Sciences (China), 2003, 16(4): 627-630.
- [20] Weaver R M, Hochella Jr M F, Ilton E S. Dynamic processes occurring at the Cr^{III}_{aq}-manganite (γ-MnOOH) interface: simultaneous adsorption, microprecipitation, oxidation/reduction, and dissolution [J]. Geochimica et Cosmochimica Acta, 2002, 66(23); 4119-4132.
- [21] Qiu G H, Huang H, Genuino H, et al. Microwave-assisted hydrothermal synthesis of nanosized α-Fe₂O₃ for catalysts and adsorbents[J]. The Journal of Physical Chemistry C, 2011, 115 (40): 19626-19631.
- [22] Zhang W X, Yang Z H, Liu Y, et al. Controlled synthesis of Mn₃O₄ nanocrystallites and MnOOH nanorods by a solvothermal method[J]. Journal of Crystal Growth, 2004, 263(1-4): 394-399.
- [23] Zhang Y C, Qiao T, Hu X Y. Preparation of Mn_3O_4 nanocrystallites by low-temperature solvothermal treatment of γ -MnOOH nanowires [J]. Journal of Solid State Chemistry, 2004, 177(11): 4093-4097.
- [24] Wang W J, Yu J C, Xia D H, et al. Graphene and g-C₃N₄ nanosheets cowrapped elemental α-sulfur as a novel metal-free heterojunction photocatalyst for bacterial inactivation under visible-light[J]. Environmental Science & Technology, 2013, 47(15): 8724-8732.
- [25] Yao W S, Millero F J. The rate of sulfide oxidation by δ MnO₂ in seawater [J]. Geochimica et Cosmochimica Acta, 1993, 57 (14); 3359-3365.

HUANJING KEXUE

Environmental Science (monthly)

Vol. 37 No. 4 Apr. 15, 2016

CONTENTS

Chemical Characteristics of Particulate Matters and Trajectory Influence on Air Quality in Shanghai During the Heavy Haze Episode	in December, 2013 ······
Analysis of Single Particle Aging and Mixing State at an Agriculture Site (Quzhou) in the North China Plain in Summer Using a Single Particle Aging and Mixing State at an Agriculture Site (Quzhou) in the North China Plain in Summer Using a Single Particle Aging and Mixing State at an Agriculture Site (Quzhou) in the North China Plain in Summer Using a Single Particle Aging and Mixing State at an Agriculture Site (Quzhou) in the North China Plain in Summer Using a Single Particle Aging and Mixing State at an Agriculture Site (Quzhou) in the North China Plain in Summer Using a Single Particle Aging and Mixing State at an Agriculture Site (Quzhou) in the North China Plain in Summer Using a Single Particle Aging and Mixing State at an Agriculture Site (Quzhou) in the North China Plain in Summer Using a Single Particle Aging Site (Quzhou) in the North China Plain in Summer Using Aging Site (Quzhou) in the North China Plain in Summer Using Aging Site (Quzhou) in the North China Plain in Summer Using Aging Site (Quzhou) in the North China Plain in Summer Using Aging Site (Quzhou) in the North China Plain in Summer Using Aging Site (Quzhou) in the North China Plain in Summer Using Aging Site (Quzhou) in the North China Plain in Summer Using Aging Site (Quzhou) in the North China Plain in Summer Using Aging Site (Quzhou) in the North China Plain in Summer Using Site (Quzhou) in the North China Plain in Summer Using Site (Quzhou) in the North China Plain in Summer Using Site (Quzhou) in the North China Plain in Summer Using Site (Quzhou) in the North China Plain in Summer Using Site (Quzhou) in the North China Plain in Summer Using Site (Quzhou) in the North China Plain in Summer Using Site (Quzhou) in the North China Plain in Summer Using Site (Quzhou) in the North China Plain in Summer Using Site (Quzhou) in the North China Plain in Summer Using Site (Quzhou) in Summer Us	ngle Particle Aerosol Mass Spectrometer
	··· HUANG Zi-long, ZENG Li-min, DONG Hua-bin, et al. (1188)
Investigation of Aerosol Mixed State and CCN Activity in Nanjing	
Characteristics of Number Concentration Size Distributions of Aerosols Under Different Weather Processes in Beijing	
Temporal and Spatial Distribution Characteristics of PM _{2.5} in Chongqing Urban Areas ·····	· · · LIU Yong-lin, SUN Qi-min, ZHONG Ming-yang, et al. (1219)
Comparison of Monitoring Methods of Organic Carbon and Element Carbon in Atmospheric Fine Particles	
Residue Characteristics of Perfluorinated Compounds in the Atmosphere of Shenzhen	
Monitoring Atmospheric CO_2 and $\delta^{13}C(CO_2)$ Background Levels at Shangdianzi Station in Beijing, China	········ XIA Ling-jun, ZHOU Ling-xi, LIU Li-xin, et al. (1248)
Concentration and Size Distribution of Bioaerosols in Indoor Environment of University Dormitory During the Plum Rain Period	
Air Microbial Pollution and Health Risk of Urban Black Odorous Water	······ LIU Jian-fu, CHEN Jing-xiong, GU Shi-you (1264)
Particle Size Distribution, Seasonal Variation Characteristics and Human Exposure Assessment of Heavy Metals in Typical Settled De	ust from Beijing ·····
7,	······ CAO Zhi-guo, YU Gang, LÜ Xiang-ying, et al. (1272)
Distribution Characteristics and Source Analysis of Polycyclic Aromatic Hydrocarbons (PAHs) in Surface Dust of Xi'an City, China	······ WANG Li, WANG Li-jun, SHI Xing-min, et al. (1279)
Toluene, Benzene and Acetone Adsorption by Activated Carbon Coated with PDMS	LIU Han-bing, JIANG Xin, WANG Xin, et al. (1287)
Distribution Characteristics, Sources and Pollution Assessment of Trace Elements in Surficial Sediments of the Coastal Wetlands, North	rtheastern Hainan Island
	··· ZHANG Wei-kun, GAN Hua-yang, BI Xiang-yang, et al. (1295)
Heavy Metals Accumulation in the Caofeidian Reclamation Soils: Indicated by Soil Magnetic Susceptibility	
Characteristics of Stable Isotopes in Precipitation and Their Moisture Sources in Mengzi Region, Southern Yunnan	
GIS Spatial Distribution and Ecological Risk Assessment of Heavy Metals in Surface Sediments of Shallow Lakes in Jiangsu Province	
Microcosm Simulation Study and Methylmercury Forming Mechanism at Landscape Water of City	
Seasonal Stratification and the Response of Water Quality of a Temperate Reservoir—Zhoucun Reservoir in North of China	
Hydrochemical Characteristics of Snow Meltwater and River Water During Snow-melting Period in the Headwaters of the Ertis River,	
Type of the state	WEI Hong WII Iin-kui SHEN Yong-ping et al. (1345)
Relationship Between the Phytoplankton Distribution and Environmental Factors in Fenhe Scenic Spot of Taiyuan	
Distribution Characteristics of Nitrifiers and Denitrifiers in the River Sediments of Tongling City	
Contribution of Base Flow to Total Nitrogen Loading in Subtropical Agricultural Catchments	
Characteristics and Transport Patterns of Ammonia, Nitrites, Nitrates and Inorganic Nitrogen Flux at Epikarst Springs and a Subterra	
Characteristics and transport Fatterns of Aminonia, Muries, Mutates and morganic Mutagen Flux at Epixansi Springs and a Subterior	7HANC Vuon aby HE Oiy fong HANC Vong ive et al. (1370)
Pollution Characteristics and Evaluation of Nitrogen, Phosphorus and Organic Matter in Sediments of Shanmei Reservoir in Fujian, Cl	
Effect of Elodea nuttallii-immobilized Nitrogen Cycling Bacteria on Nitrogen Removal Mechanism in an Inflow River, Gonghu Bay	
Spatial and Temporal Distribution Characteristics of Different Forms of Phosphorus in Three Sorts of Rivers around Lake Taihu	
Distribution of Phosphorus Forms in the Overlying Water Under Disturbance with the Addition of Algae	
Impacts of Sediment Disturbance on the Distribution of Suspended Particle Size and Phosphorus	
Effect of Zirconium Modified Kaolin-Based Cap on Migration and Transformation of Phosphorus Between Sediment and Overlying Wa	der
Toxicity of 4-Chlorophenol Solution Under Electrochemical Reduction-oxidation Process	WANG Y SHANG THE WANG HE WANG HE WANG THE WANG T
$Removal \ and \ Recycle \ of \ Phosphor \ from \ Water \ Using \ Magnetic \ Core/Shell \ Structured \ Fe_3O_4@SiO_2 \ Nanoparticles \ Functionalized \ with \ SiO_2 \ Nanoparticles \ With \ SiO_2 \ Nanoparticles \ Functionalized \ With \ SiO_2 \ Nanoparticles \ With \ W$	h Hydrous Aluminum Oxide
Occurrence and Removal of Polycyclic Aromatic Hydrocarbons and Their Derivatives in Typical Wastewater Treatment Plants in Beij	
Spectral Characteristics of Dissolved Organic Matters in Reject Water from Wastewater Treatment Plants	
Feasibility and Economic Analysis of Denitrification of Photovoltaic Wastewater Containing High Fluorine	LI Xiang, ZHU Liang, HUANG Yong, et al. (1467)
Quick Start-up and Sustaining of Shortcut Nitrification in Continuous Flow Reactor	
Performance Recoverability of Denitrifying Granular Sludge Under the Stressing Effect of Nanoscale Zero-valent Iron	
Effect of Low-concentration Ciprofloxacin on the Nitrification and Nitrifying Microorganisms of Biofilms in Biological Aerated Filter	
Optimization Study on the Nitrogen and Phosphorus Removal of Modified Two-sludge System Under the Condition of Low Carbon Sou	urce ·····
	YANG Wei-qiang, WANG Dong-bo, LI Xiao-ming, et al. (1492)
Effects of Short-time Conservation Tillage Managements on Greenhouse Gases Emissions from Soybean-Winter Wheat Rotation System	n ········ XIE Yan, CHEN Xi, HU Zheng-hua, et al. (1499)
Diurnal and Seasonal Dynamic Variation of Soil Respiration and Its Influencing Factors of Different Fenced Enclosure Years in Deser	rt Steppec ····· CUI Hai, ZHANG Ya-hong (1507)
Correlation Among Soil Organic Carbon, Soil Inorganic Carbon and the Environmental Factors in a Typical Oasis in the Southern Ed	ge of the Tarim Basin
	GONG Lu, ZHU Mei-ling, LIU Zeng-yuan, et al. (1516)
Effects of Low-Molecular-Weight Organic Acids on the Speciation of Pb in Purple Soil and Soil Solution	
Phytoremediation of Petroleum Contaminated Soils with Iris pseudacorus L. and the Metabolic Analysis in Roots	
Oxidation Process of Dissolvable Sulfide by Manganite and Its Influencing Factors	
Screening and Enzyme Production Characteristics of Thermophilic Cellulase-producing Strains	
Development of Determination Method of Fluoroquinolone Antibiotics in Sludge Based on Solid Phase Extraction and HPLC-Fluoresco	ence Detection Analysis ·····
20 copins of the contract of the copins of t	DAI Xiao-hu. XUE Yong-gang LIIU Hua-iie. et al. (1553)
Distribution and Risk Assessment of Sulfonamides Antibiotics in Soil and Vegetables from Feedlot Livestock	
Influence of Four Kinds of PPCPs on Micronucleus Rate of the Root-Tip Cells of Vicia-faba and Garlic	
Environmental Behaviors and Ecotoxicology of the Emerging Contaminants Polyhalogenated Carbazoles	
Classification of Priority Area for Soil Environmental Protection Around Water Sources; Method Proposed and Case Demonstration	
characteristration of Friends and Case Demonstration -	in i.e., white ite-ya, white Mae-jail, & al. (1364)

《环境科学》第6届编辑委员会

主 编:欧阳自远

副主编:赵景柱 郝吉明 田 刚

编 委: (按姓氏笔画排序)

万国江 王华聪 王凯军 王绪绪 田 刚 田 静 史培军

朱永官 刘志培 刘 毅 汤鸿霄 孟 伟 周宗灿 林金明

欧阳自远 赵景柱 姜 林 郝郑平 郝吉明 聂永丰 黄 霞

黄耀 鲍强潘纲潘涛魏复盛

环维种草

(HUANJING KEXUE)

(月刊 1976年8月创刊)

2016年4月15日 第37卷 第4期

ENVIRONMENTAL SCIENCE

(Monthly Started in 1976)

Vol. 37 No. 4 Apr. 15, 2016

		,,, ., ., ., ., ., ., ., ., .			
主	管	中国科学院	Superintended	by	Chinese Academy of Sciences
主	办	中国科学院生态环境研究中心	Sponsored	by	Research Center for Eco-Environmental Sciences, Chinese
协	办	(以参加先后为序)			Academy of Sciences
		北京市环境保护科学研究院	Co-Sponsored	by	Beijing Municipal Research Institute of Environmental
		清华大学环境学院			Protection
主	编	欧阳自远			School of Environment, Tsinghua University
编	辑	《环境科学》编辑委员会	Editor-in -Chief		OUYANG Zi-yuan
>m	7-4	北京市 2871 信箱(海淀区双清路	Edited	by	The Editorial Board of Environmental Science (HUANJING
		18号,邮政编码:100085)			KEXUE)
		电话:010-62941102,010-62849343			P. O. Box 2871, Beijing 100085, China
		传真:010-62849343			Tel:010-62941102,010-62849343; Fax:010-62849343
		E-mail; hjkx@ reees. ac. cn			E-mail; hjkx@ reees. ac. en
		http://www.hjkx.ac.cn			http://www.hjkx.ac.cn
出	版	4 学业版社	Published	by	Science Press
-	742	北京东黄城根北街 16 号			16 Donghuangchenggen North Street,
		邮政编码:100717			Beijing 100717, China
印刷装	ŧ订	北京北林印刷厂	Printed	by	Beijing Bei Lin Printing House
发	行	斜学出版社	Distributed	by	Science Press
		电话:010-64017032			Tel:010-64017032
		E-mail:journal@mail.sciencep.com			E-mail: journal@ mail. sciencep. com
订 购	处	全国各地邮电局	Domestic		All Local Post Offices in China
国外总统	发行	中国国际图书贸易总公司	Foreign		China International Book Trading Corporation (Guoji
		(北京399信箱)			Shudian), P. O. Box 399, Beijing 100044, China

中国标准刊号: ISSN 0250-3301 CN 11-1895/X

国内邮发代号: 2-821

国内定价:120.00元

国外发行代号: M 205

国内外公开发行